

## ОЦЕНКА ЭФФЕКТА ЭЛЕКТРОННЫХ ОБЛАКОВ ДЛЯ КОЛЛАЙДЕРА NICA

*A. B. Филиппов, B. A. Мончинский, A. B. Кузнецов*

Объединенный институт ядерных исследований, Дубна

В данной работе представлены предварительные результаты моделирования образования электронных облаков в коллиайдере NICA на основе программного пакета ECLOUD. Для пучка ядер золота обсуждаются требования, предъявляемые к ускорительной камере коллиайдера NICA.

We report a previous estimation of electron clouds effect for NICA collider. The ECLOUD simulation code was used for study of the electron cloud buildup. The NICA collider vacuum chamber requirements for fully stripped gold ion beam are discussed.

PACS: 29.20.-с; 29.90.+r

### 1. МЕХАНИЗМ ПОЯВЛЕНИЯ ЭЛЕКТРОННЫХ ОБЛАКОВ

Электронными облаками (ЭО) принято называть пространственное динамическое распределение электронов, образованное в пучковой камере из первичных электронов (ионизация остаточного газа, фотоэмиссия и т. д.) резонансным вторично-эмиссионным размножением их на стенках камеры.

Первичные электроны ускоряются полем движущихся банчей и после достижения стенки выбивают электроны, вызывая, таким образом, эмиссию вторичных электронов (ЭВЭ) внутрь камеры. Вторичные электроны (ВЭ) при условии резонанса между временем прохождения электронами камеры и пространственным распределением банчей могут вызвать рост электронного заряда в камере вплоть до компенсации пространственного заряда пучка.

Подробное рассмотрение проблемы ЭО в коллиайдере, в первую очередь влияние их на динамический вакуум, сделано в BNL на RHIC [1], где в 2001 г. попытка вдвое поднять число инжектируемых банчей привела к полной потере пучка при резком ухудшении вакуума. Обширная информация по ЭО имеется на сайте Electron Cloud in the LHC [2].

Поток электронов на стенки вакуумной камеры и пространственный заряд электронных облаков могут вызывать нежелательные эффекты, такие как:

- рост давления, вплоть до полной потери пучка, по причине десорбции газов с поверхности стенок камеры;
- пучковую неустойчивость;
- рост эмиттанса пучка;
- тепловую нагрузку на криогенные поверхности камеры;
- нарушение работы аппаратуры диагностики пучка.

Эти явления наблюдаются на многих ускорителях и колайдерах, имеющих высокие интенсивности ускоренных ионов (PSR LANL, PF KEK, PEP-II SLAC, CERN ISR, PS, SPS, RHIC и т. д.).

Более полное описание механизмов образования ЭО и условий их развития для круглой камеры приведено в [3].

## **2. ПРОГРАММНЫЙ ПАКЕТ ECLOUD [4]**

Существуют несколько программ для расчета динамики развития ЭО, написанных в различных ускорительных центрах, а именно: ECLOUD — разработка CERN [4] (Frank Zimmermann), COUNTRYCLOUD — разработка BNL (Lanfa Wang), CSEC — разработка BNL (Mike Blaskiewicz) [3], PEI — разработка KEK (Kazuhito Ohmi) и POSINST — разработка LBNL (Mauro Pivi, Miguel Furman).

В нашем случае расчеты проводились по свободно доступной версии программы ECLOUD [4].

Программный пакет ECLOUD предназначен для расчета образования ЭО в процессе ионизации остаточного газа, фотоэлектронной эмиссии и ЭВЭ со стенок ускорительной камеры при ускорении пучка протонов и изначально был разработан для LHC.

Пакет позволяет произвести расчеты: полного числа электронов на единицу длины; плотности электронов в центральной части камеры; средней энергии электронов, а также среднего тока электронов, осаждаемых на стенках камеры, на единицу длины, на единицу площади, а также в зависимости от азимутального угла и др. Более подробно его описание приведено в инструкции разработчиков [4].

## **3. ПОСТАНОВКА ЗАДАЧИ И РЕЗУЛЬТАТЫ**

Поскольку существуют ограничения в возможности менять параметры пучка, а именно: число банчей, число частиц в банче, расстояние между банчами, RMS-размеры пучка, энергию пучка, а также другие, то постановка задачи для проведения расчетов образования ЭО была следующей:

1) число макрочастиц в сгустке, время пересчета собственного поля, учет изображений зарядов, а также другие параметры были приняты согласно рекомендациям разработчиков программного пакета ECLOUD [4];

2) параметры  $N_b$  — число банчей,  $N_{ppb}$  — число частиц в банче,  $S_b$  — расстояние между банчами,  $\sigma_\perp$ ,  $\sigma_\parallel$  — RMS-размеры пучка (пучок круглый),  $E$  — энергия частиц в банче, а также другие значения были приняты для параметров пучка согласно последней версии концептуального проекта NICA [2] (см. табл. ниже);

3) в процессе расчета принималось, что электроны образовывались при ионизации ионами  $^{197}\text{Au}^{79+}$  пучка атомов или молекул остаточного газа ( $\text{H}_2$ , CO) [5].

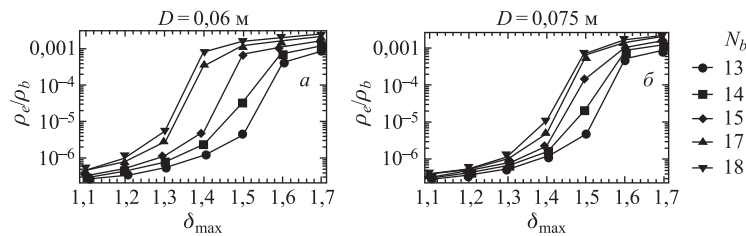
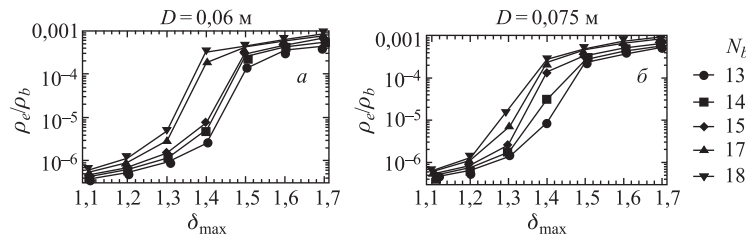
Расчет проводился для свободного промежутка и промежутков, содержащих дипольный и квадрупольный магниты. Диаметр ускорительной камеры  $D$  варьировался. При этом предполагалось как равномерное заполнение кольца колайдера сгустками, так и схема чередования пустых и заполненных сепаратрис, или «mapping».

**Параметры пучка и коллайдера NICA [2]**

| Параметр   | Коллайдер $\text{Au}^{79+} \times \text{Au}^{79+}$    |
|--|---|
| Число банчей   | 13/14/15/17/18  |
| Число частиц в банче                                       | $10^9$  |
| Расстояние между банчами, м                                | 19,31/17,93/16,73/14,77/13,94                         |
| RMS радиус банча, м  | 0,0014  |
| RMS длина банча, м   | 0,3   |
| Периметр кольца, м   | 252   |
| Энергия инжекции, ГэВ                                      | 197   |
| Магнитное поле диполей, Тл/градиент квадруполя, Тл/м       | 4,2/29  |
| Длина свободной/дипольной/квадрупольной секции, м          | 8,8/2,8/0,4   |
| Диаметр ускорительной камеры, м                            | 0,06/0,075  |
| Эффективное давление газа, пТорр                           | 100   |
| Сечение взаимодействия на остаточном газе, см <sup>2</sup> | $(\text{H}_2 - 1,3, \text{ CO} - 5,8) \cdot 10^{-15}$ |

Целью расчетов являлся поиск диапазонов для величин  $\delta_{\max}$  (коэффициента вторичной эмиссии), предъявляемых к поверхности ускорительной камеры, для которых при заданных параметрах пучка образование ЭО не является критичным, т. е. влияние эффекта электронных облаков (ЭЭО) на стабильность пучка в ускорителе мало.

Все расчеты проведены для коэффициента вторичной эмиссии (КВЭ) в интервале 1,1–1,7. На рис. 1–3 дана зависимость отношения  $\rho_e/\rho_b$  от КВЭ; здесь  $\rho_e$  — линейная зарядовая плотность ВЭ в ЭО,  $\rho_b$  — линейная зарядовая плотность ионов  $^{197}\text{Au}^{79+}$  в банче.

Рис. 1. Зависимость  $\rho_e/\rho_b$  от КВЭ для свободного промежуткаРис. 2. Зависимость  $\rho_e/\rho_b$  от КВЭ для промежутка с дипольным магнитом

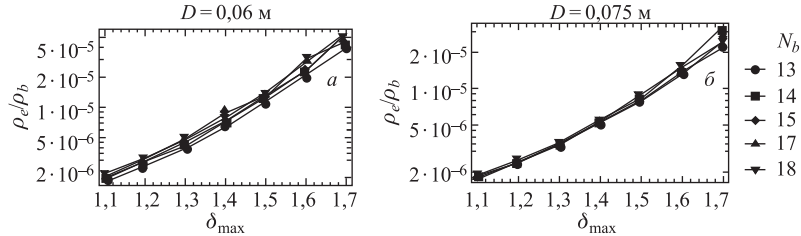


Рис. 3. Зависимость  $\rho_e/\rho_b$  от КВЭ для промежутка с квадрупольным магнитом

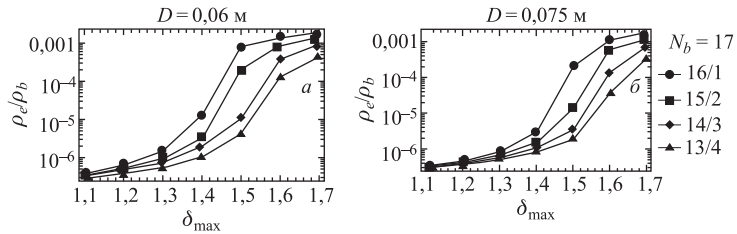


Рис. 4. Зависимость  $\rho_e/\rho_b$  от КВЭ для свободного промежутка («mapping»)

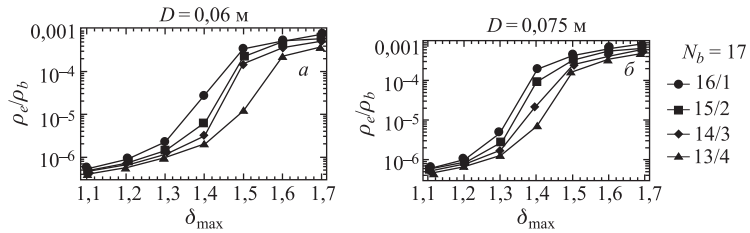


Рис. 5. Зависимость  $\rho_e/\rho_b$  от КВЭ для промежутка с дипольным магнитом («mapping»)

На рис. 4 и 5 приведена зависимость отношения  $\rho_e/\rho_b$  от КВЭ для схемы чередования пустых и заполненных сепаратрис, или «mapping».

## ЗАКЛЮЧЕНИЕ

Параметры коллайдера NICA, принятые на данное время, дают основание для утверждения, что ЭЭО для коллайдера NICA существует и она не менее значительна, чем для RHIC.

Как следует из расчетов плотности ЭО, в прямолинейных участках влиянием ЭО можно пренебречь, приняв диаметр пучковой камеры  $\sim 10-12$  см. Расчеты, проведенные для квадрупольных участков, также дают незначительную величину плотности электронных облаков.

Наиболее опасными участками остаются дипольные участки, составляющие четверть длины кольца коллайдера. В них для сохранения потерь пучка на уровне  $\sim 10\%$  за час максимальный КВЭ не должен превышать 1,3.

Потребуется проведение специальных исследований по достижению требуемой величины коэффициента вторичной эмиссии в пучковой камере дипольных участков.

СПИСОК ЛИТЕРАТУРЫ

1. *Fischer W. et al. // Phys. Rev. ST Accel. Beams.* 2008. V. 11. P. 041002.
2. <http://ab-abp-rlc.web.cern.ch/ab-abp-rlc-ecloud/>
3. *Iriso U.* Ph.D. Thesis. Collider-Accelerator Department of the Brookhaven National Laboratory. Upton; N. Y., 2005.
4. *Rumolo G., Zimmermann F.* CERN-SL-Note-2002-016 (AP).  
<http://proj-ecloud-code.web.cern.ch/proj-ecloud-code/>
5. Concept of NICA Collider. Dubna, 2010. Ch. 11. P. 53–57.